

RUR : Reconfigurable underwater robots

Henrique Fagundes Gasparoto Olivier Chocron Emmanuel Delaleau



26 janvier 2020

Première partie I

Présentation du projet RUR

Deuxième partie II

Modélisation

Plan

1 Modélisation des AUV

- Notations
- Modèle cinématique
- Modèle dynamique
- Propulseurs fixes
- Famille de propulseurs fixes “élémentaires”
- Propulseurs vectoriels

2 Modélisation des propulseurs de RUR

- Notations
- Propulseur bâbord

- Propulseur tribord
- Propulseur arrière
- Superposition des efforts des 3 propulseurs vectoriels
- Holonomie de l'AUV RUR
- Calcul des poussées cartésiennes et des commandes

3 Configuration

- Cavalement
- Lacet
- Embardée
- Pilonnement-tangage-lacet

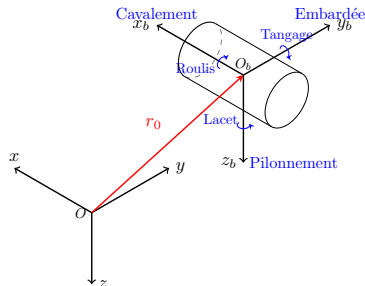
Pour analyser le comportement en 6 DDL d'un robot sous-marin, on définit deux systèmes de coordonnées :

- Le système de coordonnées *mobile*, attaché au robot

$$R_b = (O_b, \vec{i}_b, \vec{j}_b, \vec{k}_b)$$

- Le système de coordonnées *inertiel*, attaché à la terre

$$R_0 = (O, \vec{i}, \vec{j}, \vec{k})$$



DDL		Forces et moments	vitesse linéaire et angulaire	position et orientation
1	mouv. sur x (cavalement)	X	u	x
2	mouv. sur y (embardée)	Y	v	y
3	mouv. sur z (pilonnement)	Z	w	z
4	rotation. sur x (roulis)	K	p	ϕ
5	rotation sur y (tangage)	M	q	θ
6	rotation sur z (lacet)	N	r	ψ

Les vecteurs qui décrivent le mouvement du sous-marin en 6 DDL sont :

- Position et orientation dans R_0 :

$$\eta = \begin{bmatrix} \eta_1 \\ \eta_2 \end{bmatrix}, \quad \eta_1 = \begin{bmatrix} x \\ y \\ z \end{bmatrix}, \quad \eta_2 = \begin{bmatrix} \phi \\ \theta \\ \psi \end{bmatrix}$$

- Vitesse linéaire et angulaire dans R_b :

$$\nu = \begin{bmatrix} \nu_1 \\ \nu_2 \end{bmatrix}, \quad \nu_1 = \begin{bmatrix} u \\ v \\ w \end{bmatrix}, \quad \nu_2 = \begin{bmatrix} p \\ q \\ r \end{bmatrix}$$

- Efforts dans R_b :

$$\tau = \begin{bmatrix} \tau_1 \\ \tau_2 \end{bmatrix}, \quad \tau_1 = \begin{bmatrix} X \\ Y \\ Z \end{bmatrix}, \quad \tau_2 = \begin{bmatrix} K \\ M \\ N \end{bmatrix}$$

Évolution des positions en fonction des vitesses :

$$\begin{aligned}\dot{\eta}_1 &= \mathbf{J}_1(\eta_2)\nu_1 \\ \dot{\eta}_2 &= \mathbf{J}_2(\eta_2)\nu_2\end{aligned}$$

Matrices de transformation : (avec $ca = \cos a$, $sa = \sin a$ et $ta = \tan a$)

$$\blacksquare \mathbf{J}_1(\eta_2) = \begin{bmatrix} c\psi c\theta & -s\psi c\phi + c\psi s\theta s\phi & s\psi s\phi + c\psi c\phi s\theta \\ s\psi c\theta & c\psi c\phi + s\theta s\theta s\psi & -c\psi s\phi + s\theta s\psi c\phi \\ -s\theta & c\theta s\phi & c\theta c\phi \end{bmatrix} \text{ (Euler ZYX)}$$

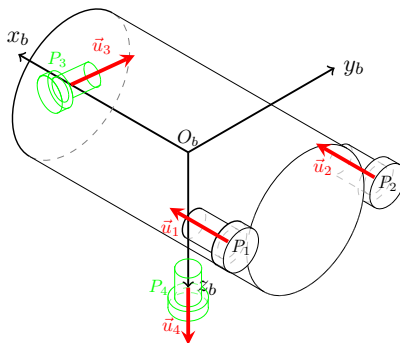
$$\blacksquare \mathbf{J}_2(\eta_2) = \begin{bmatrix} 1 & s\phi t\theta & c\phi t\theta \\ 0 & c\phi & -s\phi \\ 0 & \frac{s\phi}{c\theta} & \frac{c\phi}{c\theta} \end{bmatrix}$$

Modèle dynamique :

$$\mathbf{M}\dot{\boldsymbol{\nu}} + \mathbf{C}(\boldsymbol{\nu})\boldsymbol{\nu} + \mathbf{D}(\boldsymbol{\nu})\boldsymbol{\nu} + \mathbf{G}(\boldsymbol{\eta}) = \boldsymbol{\tau}$$

avec

- \mathbf{M} : Matrice de masse et d'inertie
- $\mathbf{C}(\boldsymbol{\nu})$: Matrice de couplage
- $\mathbf{D}(\boldsymbol{\nu})$: Matrice de traînée et de portance
- $\mathbf{G}(\boldsymbol{\eta})$: torseur de gravité et de flottaison
- $\boldsymbol{\tau}$: torseur des efforts, dépend des propulseurs et de leur positionnement



Chaque propulseur est défini par :

- Son point d'implantation : ${}^bP_i = \begin{bmatrix} P_{xi} \\ P_{yi} \\ P_{zi} \end{bmatrix}$

- sa direction définie par le vecteur unitaire $\vec{f}_i = \begin{bmatrix} f_{xi} \\ f_{yi} \\ f_{zi} \end{bmatrix}$

- sa poussée définie par le vecteur $\vec{u}_i = \begin{bmatrix} u_{xi} \\ u_{yi} \\ u_{zi} \end{bmatrix}$

On pose $u_i = \|\vec{u}_i\|$ et donc $\vec{u}_i = u_i \vec{f}_i$ ou encore $\vec{f}_i = \frac{1}{u_i} \vec{u}_i$

- A chaque propulseur on associe un repère orthonormé

$$\begin{aligned} R_i &= (P_i, \vec{i}_i, \vec{j}_i, \vec{k}_i) \\ \vec{i}_i &= \vec{f}_i \end{aligned}$$

- Chg de coordonnées $R_i \longrightarrow R_b$: matrice notée bR_i
- Chg de coordonnées $R_b \longrightarrow R_i$: matrice notée iR_b
- $({}^bR_i)^{-1} = ({}^bR_i)^\top = {}^iR_b$ (matrices de rotation)

Il existe 9 types de propulseurs fixes “élémentaires” :

- 3 sont portés par les axes principaux $O_b x_b$, $O_b y_b$ et $O_b z_b$
- 6 sont contenus dans les plans principaux $x_b O_b y_b$, $x_b O_b z_b$ et $y_b O_b z_b$ et sont dirigés selon l'un des axes principaux

Famille de propulseurs fixes “élémentaires” (donnés dans R_b)

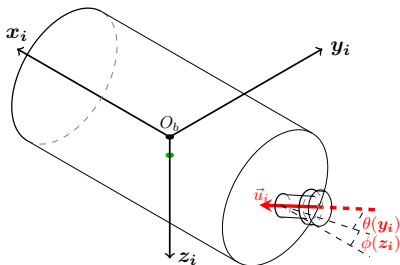
Configuration Notation	T_x	T_y	T_z	T_{yx}	T_{zx}	T_{xy}	T_{zy}	T_{xz}	T_{yz}
Position du propulseur	$\begin{bmatrix} P_x \\ 0 \\ 0 \end{bmatrix}$	$\begin{bmatrix} 0 \\ P_y \\ 0 \end{bmatrix}$	$\begin{bmatrix} 0 \\ 0 \\ P_z \end{bmatrix}$	$\begin{bmatrix} 0 \\ P_y \\ P_z \end{bmatrix}$	$\begin{bmatrix} 0 \\ P_y \\ P_z \end{bmatrix}$	$\begin{bmatrix} P_x \\ 0 \\ P_z \end{bmatrix}$	$\begin{bmatrix} P_x \\ 0 \\ P_z \end{bmatrix}$	$\begin{bmatrix} P_x \\ P_y \\ 0 \end{bmatrix}$	$\begin{bmatrix} P_x \\ P_y \\ 0 \end{bmatrix}$
Direction de la force	$\begin{bmatrix} 1 \\ 0 \\ 0 \end{bmatrix}$	$\begin{bmatrix} 0 \\ 1 \\ 0 \end{bmatrix}$	$\begin{bmatrix} 0 \\ 0 \\ 1 \end{bmatrix}$	$\begin{bmatrix} 0 \\ 1 \\ 0 \end{bmatrix}$	$\begin{bmatrix} 0 \\ 0 \\ 1 \end{bmatrix}$	$\begin{bmatrix} 1 \\ 0 \\ 0 \end{bmatrix}$	$\begin{bmatrix} 0 \\ 0 \\ 1 \end{bmatrix}$	$\begin{bmatrix} 1 \\ 0 \\ 0 \end{bmatrix}$	$\begin{bmatrix} 0 \\ 1 \\ 0 \end{bmatrix}$
Moment par rapport à O_b	$\begin{bmatrix} 0 \\ 0 \\ 0 \end{bmatrix}$	$\begin{bmatrix} 0 \\ 0 \\ 0 \end{bmatrix}$	$\begin{bmatrix} 0 \\ 0 \\ 0 \end{bmatrix}$	$\begin{bmatrix} -P_z \\ 0 \\ 0 \end{bmatrix}$	$\begin{bmatrix} +P_y \\ 0 \\ 0 \end{bmatrix}$	$\begin{bmatrix} 0 \\ +P_z \\ 0 \end{bmatrix}$	$\begin{bmatrix} 0 \\ -P_x \\ 0 \end{bmatrix}$	$\begin{bmatrix} 0 \\ 0 \\ -P_y \end{bmatrix}$	$\begin{bmatrix} 0 \\ 0 \\ +P_x \end{bmatrix}$

Famille de propulseurs fixes “élémentaires” (donnés dans R_b)

Configuration Notation	T_x	T_y	T_z	T_{yx}	T_{zx}	T_{xy}	T_{zy}	T_{xz}	T_{yz}
Position du propulseur	$\begin{bmatrix} P_x \\ 0 \\ 0 \end{bmatrix}$	$\begin{bmatrix} 0 \\ P_y \\ 0 \end{bmatrix}$	$\begin{bmatrix} 0 \\ 0 \\ P_z \end{bmatrix}$	$\begin{bmatrix} 0 \\ P_y \\ P_z \end{bmatrix}$	$\begin{bmatrix} 0 \\ P_y \\ P_z \end{bmatrix}$	$\begin{bmatrix} P_x \\ 0 \\ P_z \end{bmatrix}$	$\begin{bmatrix} P_x \\ 0 \\ P_z \end{bmatrix}$	$\begin{bmatrix} P_x \\ P_y \\ 0 \end{bmatrix}$	$\begin{bmatrix} P_x \\ P_y \\ 0 \end{bmatrix}$
Direction de la force	$\begin{bmatrix} 1 \\ 0 \\ 0 \end{bmatrix}$	$\begin{bmatrix} 0 \\ 1 \\ 0 \end{bmatrix}$	$\begin{bmatrix} 0 \\ 0 \\ 1 \end{bmatrix}$	$\begin{bmatrix} 0 \\ 1 \\ 0 \end{bmatrix}$	$\begin{bmatrix} 0 \\ 0 \\ 1 \end{bmatrix}$	$\begin{bmatrix} 1 \\ 0 \\ 0 \end{bmatrix}$	$\begin{bmatrix} 0 \\ 0 \\ 1 \end{bmatrix}$	$\begin{bmatrix} 1 \\ 0 \\ 0 \end{bmatrix}$	$\begin{bmatrix} 0 \\ 1 \\ 0 \end{bmatrix}$
Moment par rapport à O_b	$\begin{bmatrix} 0 \\ 0 \\ 0 \end{bmatrix}$	$\begin{bmatrix} 0 \\ 0 \\ 0 \end{bmatrix}$	$\begin{bmatrix} 0 \\ 0 \\ 0 \end{bmatrix}$	$\begin{bmatrix} -P_z \\ 0 \\ 0 \end{bmatrix}$	$\begin{bmatrix} +P_y \\ 0 \\ 0 \end{bmatrix}$	$\begin{bmatrix} 0 \\ +P_z \\ 0 \end{bmatrix}$	$\begin{bmatrix} 0 \\ -P_x \\ 0 \end{bmatrix}$	$\begin{bmatrix} 0 \\ 0 \\ -P_y \end{bmatrix}$	$\begin{bmatrix} 0 \\ 0 \\ +P_x \end{bmatrix}$

Remarques :

- Un AUV peut porter plusieurs propulseurs du même type situés à des endroits différents
- Les 3 premiers ne provoquent que des mouvements de translation
- Les 6 autres génèrent des mouvements de translation et de rotation couplés



Propulseur orientable selon 2 axes :

- autour de l'axe z_i selon l'angle ϕ
- autour de l'axe y_i selon l'angle θ

Expression du torseur :

$${}^iP = \begin{bmatrix} p_x \\ p_y \\ p_z \end{bmatrix}, \quad {}^i\tau = \mathcal{B}(\phi, \theta) = \begin{bmatrix} u c\phi c\theta \\ u s\phi c\theta \\ -u s\theta \\ -u s\theta p_y - u s\phi c\theta p_z \\ u c\phi c\theta p_z + u s\theta p_x \\ u s\phi c\theta p_x - u c\phi c\theta p_y \end{bmatrix} \quad (1)$$

Les variables u, ϕ, θ sont les variables de contrôle du propulseur

- Composantes de la poussée :

$$u_x = c\phi c\theta u$$

$$u_y = s\phi c\theta u$$

$$u_z = -s\theta u$$

■ Réciproquement :

$$\begin{aligned}u &= \|\vec{u}\| = \sqrt{u_x^2 + u_y^2 + u_z^2} \\ \phi &= \arctan2(u_y, u_x) , \quad \phi \in]-\pi, +\pi] \\ \theta &= \arcsin\left(\frac{-u_z}{\sqrt{u_x^2 + u_y^2 + u_z^2}}\right) , \quad \theta \in]-\frac{\pi}{2}, \frac{\pi}{2}[\end{aligned}$$

Décomposition d'un propulseur vectoriel

$$\begin{aligned}
 \boldsymbol{\tau} = \mathcal{B}(\theta, \phi) &= \begin{bmatrix} u \cos \theta \cos \phi \\ u \cos \theta \sin \phi \\ -u \sin \theta \\ -u \sin \theta p_y - u \cos \theta \sin \phi p_z \\ u \cos \theta \cos \phi p_z + u \sin \theta p_x \\ u \cos \theta \sin \phi p_x - u \cos \theta \cos \phi p_y \end{bmatrix} = \begin{bmatrix} u_x \\ u_y \\ u_z \\ u_z p_y - u_y p_z \\ u_x p_z - u_z p_x \\ u_y p_x - u_x p_y \end{bmatrix} \\
 &= u_x \begin{bmatrix} 1 \\ 0 \\ 0 \\ 0 \\ p_z \\ -p_y \end{bmatrix} + u_y \begin{bmatrix} 0 \\ 1 \\ 0 \\ -p_z \\ 0 \\ p_x \end{bmatrix} + u_z \begin{bmatrix} 0 \\ 0 \\ 1 \\ p_y \\ -p_x \\ 0 \end{bmatrix} \\
 &= \begin{bmatrix} 1 & 0 & 0 \\ 0 & 1 & 0 \\ 0 & 0 & 1 \\ 0 & -p_z & p_y \\ p_z & 0 & -p_x \\ -p_y & p_x & 0 \end{bmatrix} \begin{bmatrix} u_x \\ u_y \\ u_z \end{bmatrix} = \mathbf{B} \mathbf{u}_{\text{vec}}
 \end{aligned}$$

Plan

1 Modélisation des AUV

- Notations
- Modèle cinématique
- Modèle dynamique
- Propulseurs fixes
- Famille de propulseurs fixes “élémentaires”
- Propulseurs vectoriels

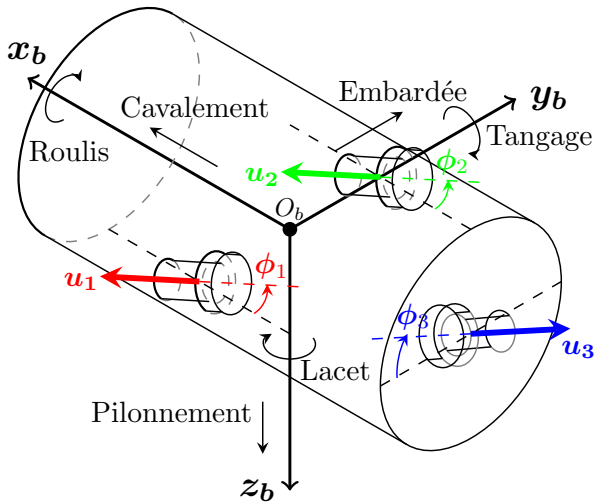
2 Modélisation des propulseurs de RUR

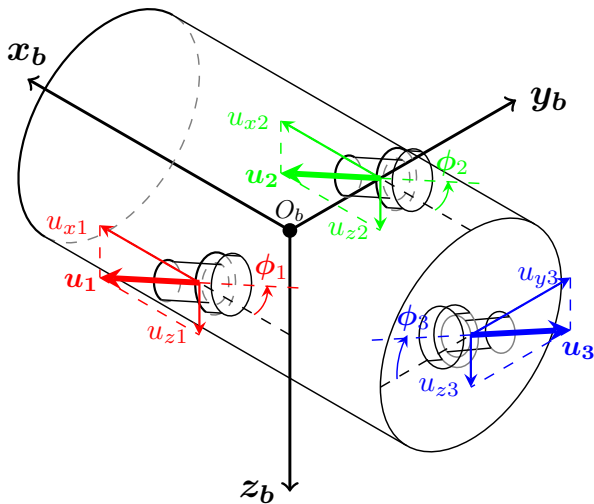
- Notations
- Propulseur bâbord

- Propulseur tribord
- Propulseur arrière
- Superposition des efforts des 3 propulseurs vectoriels
- Holonomie de l'AUV RUR
- Calcul des poussées cartésiennes et des commandes

3 Configuration

- Cavalement
- Lacet
- Embardée
- Pilonnement-tangage-lacet





- Position et orientation :

$${}^bP_1 = \begin{bmatrix} 0 \\ -R \\ 0 \end{bmatrix} \quad {}^bR_1 = \begin{bmatrix} 1 & 0 & 0 \\ 0 & 0 & -1 \\ 0 & 1 & 0 \end{bmatrix}$$

- Force de propulsion :

$${}^1F_1 = \begin{bmatrix} u_1 c \phi_1 \\ u_1 s \phi_1 \\ 0 \end{bmatrix}, \quad {}^bF_1 = {}^bR_1 {}^1F_1 = \begin{bmatrix} u_1 c \phi_1 \\ 0 \\ u_1 s \phi_1 \end{bmatrix}$$

- Moment de propulsion :

$${}^bM_1 = {}^bR_1 (({}^1R_b {}^bP_1) \times {}^1F_1) = \begin{bmatrix} -u_1 R s \phi_1 \\ 0 \\ u_1 R c \phi_1 \end{bmatrix}$$

- Torseur de propulsion vectorielle :

$${}^b\tau_1 = \begin{bmatrix} u_1 c\phi_1 \\ 0 \\ u_1 s\phi_1 \\ -u_1 R s\phi_1 \\ 0 \\ +u_1 R c\phi_1 \end{bmatrix} = u_1 \begin{bmatrix} c\phi_1 \\ 0 \\ s\phi_1 \\ -R s\phi_1 \\ 0 \\ +R c\phi_1 \end{bmatrix}$$

- Décomposition en propulseurs fixes élémentaires :

on pose $u_{x1} = u_1 c\phi_1$ et $u_{z1} = u_1 s\phi_1$

$${}^b\tau_1 = \begin{bmatrix} u_{x1} \\ 0 \\ u_{z1} \\ -R u_{z1} \\ 0 \\ +R u_{x1} \end{bmatrix} = u_{x1} \begin{bmatrix} 1 \\ 0 \\ 0 \\ 0 \\ 0 \\ +R \end{bmatrix} + u_{z1} \begin{bmatrix} 0 \\ 0 \\ 1 \\ -R \\ 0 \\ 0 \end{bmatrix} = \underbrace{\begin{bmatrix} 1 & 0 \\ 0 & 0 \\ 0 & 1 \\ 0 & -R \\ 0 & 0 \\ R & 0 \end{bmatrix}}_{B_1} \underbrace{\begin{bmatrix} u_{x1} \\ u_{z1} \end{bmatrix}}_{\mathbf{u}_{\text{vec}1}}$$

- Position et orientation :

$${}^bP_2 = \begin{bmatrix} 0 \\ +R \\ 0 \end{bmatrix} \quad {}^bR_2 = \begin{bmatrix} 1 & 0 & 0 \\ 0 & 0 & -1 \\ 0 & 1 & 0 \end{bmatrix}$$

- Force de propulsion :

$${}^2F_2 = \begin{bmatrix} u_2 c \phi_2 \\ u_2 s \phi_2 \\ 0 \end{bmatrix}, \quad {}^bF_2 = {}^bR_2 {}^2F_2 = \begin{bmatrix} u_2 c \phi_2 \\ 0 \\ u_2 s \phi_2 \end{bmatrix}$$

- Moment de propulsion :

$${}^bM_2 = {}^bR_2 (({}^2R_b {}^bP_2) \times {}^2F_2) = \begin{bmatrix} +u_2 R s \phi_2 \\ 0 \\ -u_2 R c \phi_2 \end{bmatrix}$$

- Torseur de propulsion vectorielle :

$$b_{\tau_2} = \begin{bmatrix} u_2 c\phi_2 \\ 0 \\ u_2 s\phi_2 \\ +u_2 R s\phi_2 \\ 0 \\ -u_2 R c\phi_2 \end{bmatrix} = u_2 \begin{bmatrix} c\phi_2 \\ 0 \\ s\phi_2 \\ +R s\phi_2 \\ 0 \\ -R c\phi_2 \end{bmatrix}$$

- Décomposition en propulseurs fixes élémentaires :
on pose $u_{x2} = u_2 c\phi_2$ et $u_{z2} = u_2 s\phi_2$

$$b_{\tau_2} = \begin{bmatrix} u_{x2} \\ 0 \\ u_{z2} \\ +R u_{x2} \\ 0 \\ -R u_{z2} \end{bmatrix} = u_{x2} \begin{bmatrix} 1 \\ 0 \\ 0 \\ 0 \\ 0 \\ -R \end{bmatrix} + u_{z2} \begin{bmatrix} 0 \\ 0 \\ 1 \\ +R \\ 0 \\ 0 \end{bmatrix} = \underbrace{\begin{bmatrix} 1 & 0 \\ 0 & 0 \\ 0 & 1 \\ 0 & +R \\ 0 & 0 \\ -R & 0 \end{bmatrix}}_{B_2} \underbrace{\begin{bmatrix} u_{x2} \\ u_{z2} \end{bmatrix}}_{u_{\text{vec}2}}$$

- Position et orientation :

$${}^bP_3 = \begin{bmatrix} -H \\ 0 \\ 0 \end{bmatrix} \quad {}^bR_3 = \begin{bmatrix} 0 & 0 & 1 \\ 1 & 0 & 0 \\ 0 & 1 & 0 \end{bmatrix}$$

- Force de propulsion :

$${}^3F_3 = \begin{bmatrix} u_3 c \phi_3 \\ u_3 s \phi_3 \\ 0 \end{bmatrix}, \quad {}^bF_3 = {}^bR_3 {}^3F_3 = \begin{bmatrix} 0 \\ u_3 c \phi_3 \\ u_3 s \phi_3 \end{bmatrix}$$

- Moment de propulsion :

$${}^bM_3 = {}^bR_3 (({}^3R_b {}^bP_3) \times {}^3F_3) = \begin{bmatrix} 0 \\ +u_3 H s \phi_3 \\ -u_3 H c \phi_3 \end{bmatrix}$$

- Torseur de propulsion vectorielle :

$$b_{\tau_3} = \begin{bmatrix} 0 \\ u_3 c \phi_3 \\ u_3 s \phi_3 \\ 0 \\ +u_3 H s \phi_3 \\ -u_3 H c \phi_3 \end{bmatrix} = u_3 \begin{bmatrix} 0 \\ c \phi_3 \\ s \phi_3 \\ 0 \\ +H s \phi_3 \\ -H c \phi_3 \end{bmatrix}$$

- Décomposition en propulseurs fixes élémentaires :

on pose $u_{y3} = u_3 c \phi_3$ et $u_{z3} = u_3 s \phi_3$

$$b_{\tau_3} = \begin{bmatrix} 0 \\ u_{y3} \\ u_{z3} \\ 0 \\ +H u_{z3} \\ -H u_{y3} \end{bmatrix} = u_{y3} \begin{bmatrix} 0 \\ 1 \\ 0 \\ 0 \\ 0 \\ -H \end{bmatrix} + u_{z3} \begin{bmatrix} 0 \\ 0 \\ 1 \\ 0 \\ +H \\ 0 \end{bmatrix} = \underbrace{\begin{bmatrix} 0 & 0 \\ 1 & 0 \\ 0 & 1 \\ 0 & 0 \\ 0 & +H \\ -H & 0 \end{bmatrix}}_{B_3} \underbrace{\begin{bmatrix} u_{y3} \\ u_{z3} \end{bmatrix}}_{u_{\text{vec}3}}$$

$$\begin{aligned}
 b_{\tau_{123}} &= b_{\tau_1} + b_{\tau_2} + b_{\tau_3} \\
 &= \begin{bmatrix} 1 & 0 \\ 0 & 0 \\ 0 & 1 \\ 0 & -R \\ 0 & 0 \\ +R & 0 \end{bmatrix} \begin{bmatrix} u_{x1} \\ u_{z1} \end{bmatrix} + \begin{bmatrix} 1 & 0 \\ 0 & 0 \\ 0 & 1 \\ 0 & +R \\ 0 & 0 \\ -R & 0 \end{bmatrix} \begin{bmatrix} u_{x2} \\ u_{z2} \end{bmatrix} + \begin{bmatrix} 0 & 0 \\ 1 & 0 \\ 0 & 1 \\ 0 & 0 \\ 0 & +H \\ -H & 0 \end{bmatrix} \begin{bmatrix} u_{y3} \\ u_{z3} \end{bmatrix}
 \end{aligned}$$

ou encore

$$b_{\tau_{123}} = \underbrace{\begin{bmatrix} 1 & 0 & 1 & 0 & 0 & 0 \\ 0 & 0 & 0 & 0 & 1 & 0 \\ 0 & 1 & 0 & 1 & 0 & 1 \\ 0 & -R & 0 & +R & 0 & 0 \\ 0 & 0 & 0 & 0 & 0 & +H \\ +R & 0 & -R & 0 & -H & 0 \end{bmatrix}}_B \underbrace{\begin{bmatrix} u_{x1} \\ u_{z1} \\ u_{x2} \\ u_{z2} \\ u_{y3} \\ u_{z3} \end{bmatrix}}_{u_{\text{vec}}}$$

$$\mathbf{B} = \begin{bmatrix} 1 & 0 & 1 & 0 & 0 & 0 \\ 0 & 0 & 0 & 0 & 1 & 0 \\ 0 & 1 & 0 & 1 & 0 & 1 \\ 0 & -R & 0 & +R & 0 & 0 \\ 0 & 0 & 0 & 0 & 0 & +H \\ +R & 0 & -R & 0 & -H & 0 \end{bmatrix}$$

- \mathbf{B} *matrice de configuration de poussée* ou Trust configuration matrix (TCM) en anglais
- Chacune des lignes de \mathbf{B} correspond correspond à un DDL (dans le repère \mathcal{R}_b)
- Chacune des colonnes de \mathbf{B} correspond à un propulseur élémentaire

En faisant des opérations uniquement sur les colonnes de B (Algorithme d'élimination de Gauss) on montre :

$$\text{rank } B = \text{rank} \begin{bmatrix} \boxed{1} & 0 & 0 & 0 & 0 & 0 \\ 0 & \boxed{1} & 0 & 0 & 0 & 0 \\ 0 & 0 & \boxed{1} & 0 & 0 & 0 \\ 0 & 0 & 0 & \boxed{R} & 0 & 0 \\ 0 & 0 & H & -H & \boxed{-2H} & 0 \\ R & -H & 0 & 0 & 0 & \boxed{-2R} \end{bmatrix} = 6 \quad (R \neq 0, H \neq 0)$$

B est une matrice carré de rang plein donc elle est inversible

$${}^b\tau_{123} = B u_{\text{vec}} \quad \text{donc} \quad u_{\text{vec}} = B^{-1} {}^b\tau_{123}$$

Tous les degrés de liberté sont actionnés indépendamment

⇒ Ceci confirme que le robot RUR est holonome

Pour inverser la matrice B de manière “pas trop coûteuse” on peut faire des opérations sur les équations ${}^b\tau_{123} = B\mathbf{u}_{\text{vec}}$ (opérations sur les lignes de B)

$$\begin{array}{rclcl}
 u_{x1} + u_{x2} & = & X & & u_{x1} = (X + HY/R + N/R)/2 \\
 u_{y3} & = & Y & & u_{z1} = (Z - K/R - M/H)/2 \\
 u_{z1} + u_{z2} + u_{z3} & = & Z & \iff & u_{x2} = (X - HY/R - N/R)/2 \\
 -Ru_{z1} + Ru_{z2} & = & K & & u_{z2} = (Z + K/R - M/H)/2 \\
 Hu_{z3} & = & M & & u_{y3} = Y \\
 Ru_{x1} - Ru_{x2} - Hu_{y3} & = & N & & u_{z3} = M/H
 \end{array}$$

$$B\mathbf{u}_{\text{vec}} = {}^b\tau_{123} \iff \mathbf{u}_{\text{vec}} = B^{-1}\tau_{123}$$

Détermination les poussées cartésiennes $u_{x1}, u_{z1}, \dots, u_{y3}, u_{z3}$

On obtient les poussées et angles des propulseurs vectoriels à l'aide des formules :

$$\begin{array}{l}
 i = 1, 2 \quad \left. \begin{array}{l} u_{xi} = u_i c\phi_i \\ u_{zi} = u_i s\phi_i \end{array} \right\} \implies \left\{ \begin{array}{l} u_i = \sqrt{u_{xi}^2 + u_{zi}^2} \\ \phi_i = \arctan2(u_{zi}, u_{xi}) \end{array} \right. \\
 i = 3 \quad \left. \begin{array}{l} u_{x3} = u_3 c\phi_3 \\ u_{z3} = u_3 s\phi_3 \end{array} \right\} \implies \left\{ \begin{array}{l} u_3 = \sqrt{u_{x3}^2 + u_{z3}^2} \\ \phi_3 = \arctan2(u_{z3}, u_{x3}) \end{array} \right.
 \end{array}$$

Des expressions de $u_{x1}, u_{z1}, \dots, u_{y3}, u_{z3}$ on tire l'inverse de la matrice B :

$$B^{-1} = \begin{bmatrix} \frac{1}{2} & \frac{H}{2R} & 0 & 0 & 0 & \frac{1}{2R} \\ 0 & 0 & \frac{1}{2} & -\frac{1}{2R} & -\frac{1}{2H} & 0 \\ \frac{1}{2} & -\frac{H}{2R} & 0 & 0 & 0 & -\frac{1}{2R} \\ 0 & 0 & \frac{1}{2} & \frac{1}{2R} & -\frac{1}{2H} & 0 \\ 0 & 1 & 0 & 0 & 0 & 0 \\ 0 & 0 & 0 & 0 & \frac{1}{H} & 0 \end{bmatrix}$$

Plan

1 Modélisation des AUV

- Notations
- Modèle cinématique
- Modèle dynamique
- Propulseurs fixes
- Famille de propulseurs fixes “élémentaires”
- Propulseurs vectoriels

2 Modélisation des propulseurs de RUR

- Notations
- Propulseur bâbord

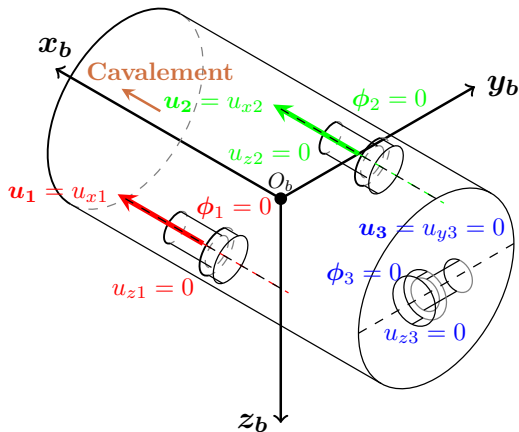
- Propulseur tribord
- Propulseur arrière
- Superposition des efforts des 3 propulseurs vectoriels
- Holonomie de l'AUV RUR
- Calcul des poussées cartésiennes et des commandes

3 Configuration

- Cavalement
- Lacet
- Embardée
- Pilonnement-tangage-lacet

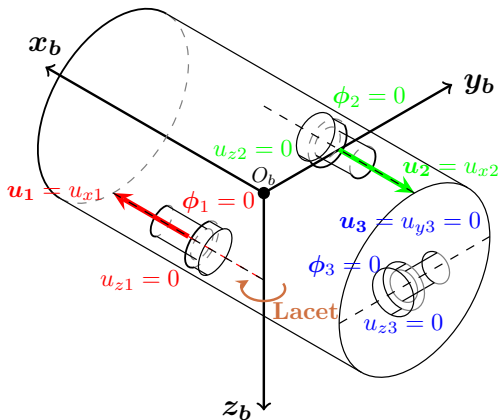
$$Y = Z = K = M = N = 0, X \neq 0$$

$$\Rightarrow u_{x1} = \frac{X}{2}, u_{x2} = \frac{X}{2} \text{ (les autres nuls)}$$



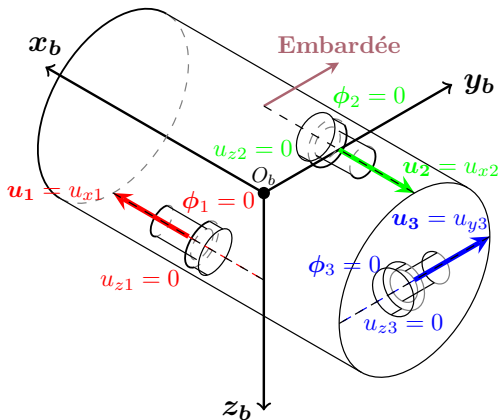
$$X = Y = Z = K = M = 0, N \neq 0$$

$$\Rightarrow u_{x1} = \frac{N}{2R}, u_{x2} = -\frac{N}{2R} \text{ (les autres nuls)}$$



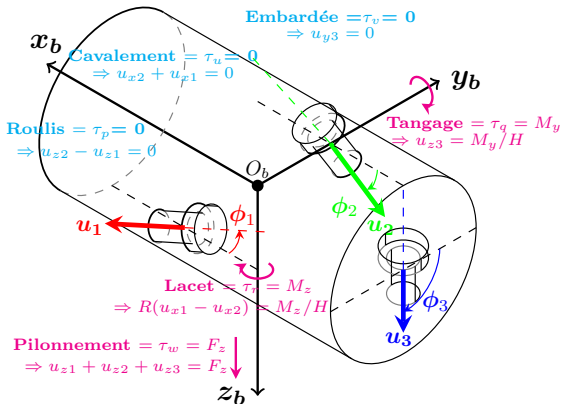
$$X = Z = K = M = N = 0, Y \neq 0$$

$$\Rightarrow u_{x1} = \frac{HY}{2R}, u_{x2} = -\frac{HY}{2R}, u_{y3} = Y \text{ (les autres nuls)}$$



$$X = Y = K = 0, Z \neq 0, M \neq 0, N \neq 0$$

$$\Rightarrow u_{x1} = \frac{N}{2R}, u_{z1} = \frac{Z - \frac{M}{H}}{2}, u_{x2} = -\frac{N}{2R}, u_{z2} = \frac{Z - \frac{M}{H}}{2}, u_{y3} = 0, u_{z3} = \frac{M}{H}$$



Troisième partie III

Simulation

Quatrième partie IV

Réalisation